

III-214 有機質火山灰土のサクションと強さに関する実験的考察

鳥取大学 正員 久保田 敏一
 " " " ○ 藤村 尚
 " 学生員 吉田 誠

1. はじめに

火山灰土のような特殊土は、含水比とその挙動によってその工学的性質が著しく異なり、また締固め特性や力学的性質は土粒子のほか、含まれる水分の相状態や状態によって変化するものである。筆者らはこれまでこれらの諸性質を表わす指標としてのサクション(P_f)に注目し、特殊土の諸性質とサクションの関連性を調べた。¹²⁾本報告は大山火山灰土を用いて、締固めエネルギーを一定にし、含水比を最適含水比、乾燥側および湿潤側の3種類に変化させて締固め、それによって起きた骨格構造の変化が、その土のサクション圧にどのような影響を与えるか、したがってまたそれと一軸圧縮強度との関連性について検討した結果の一部である。

2. 試料と試験方法

実験に用いた試料、西高尾産の大山ローム(D)と黒ぼく(K)試料の物理的性質は表-1に示すようである。締固め含水比(W_c)は、所定のサクション測定用モールドを用いて得られた図-2の突固め曲線の結果から、最適含水比とそれより乾燥側の含水比に比べて場合、および等しい乾燥密度をもつ湿潤側の含水比に比べて場合の3種類とした。土のサクション測定は各々の含水比で突固めた試料を吸水飽和させた後、前報¹¹⁾と同様の方法で行なった。ここで測定した P_f -含水比曲線はすべて乾燥過程の水分持続性曲線である。土の強度測定用供試体は、所定の含水比に調整した試料を用いて乾燥密度がサクション測定用供試体のものとほぼ等しくなるようにし、径5cm、高さ10cmに突固めて作製した。この供試体は吸水飽和させた後、デシケータ内または自然乾燥によって徐々に乾燥させ乾燥過程中の任意の含水比において一軸圧縮強度を測定した。

3. 結果および考察

土の水分保持持性：大山ロームと黒ぼくの P_f -含水比曲線を図-3, 4に示した。これらによると土の構造による P_f と含水比の関係はあくまで3段階に区分され、含水比が著しくても土の構造によって P_f 値が相違することがわかったり、特に、ローム質土はその傾向が顕著である。図-3によると P_f が2.0以下では前報¹¹⁾で述べたように同一 P_f 値における含水比は乾燥密度が大きくなれば低くなり、等乾燥密度を有する締固め含水比 $W_c = 20\%$ と $W_c = 50\%$ 試料の P_f -含水比曲線はほぼ一致している。さらに、この P_f 範囲においては土中からの脱水は一般に少ない。次に P_f 2.0~4.5の範囲にある $W_c = 20\%$ 試料と $W_c = 50\%$ 試料の P_f -含水比曲線は相当異なっている。すなわち両試料の同一 P_f 値における含水比は $W_c = 50\%$ 試料のものより $W_c = 20\%$ 試料の方が低い。このことは $W_c = 20\%$ 試料の方が土中から連続的に

表-1 土の物理的性質

試料名(地名)	G_s	$W_c\%$	$W_f\%$	有機物含有量%
大山ローム(D)	275	683	395	4.48
黒ぼく(K)	241	990	690	40.46

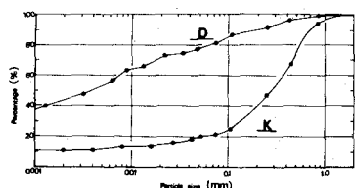


図-1 試料の粒径加積曲線

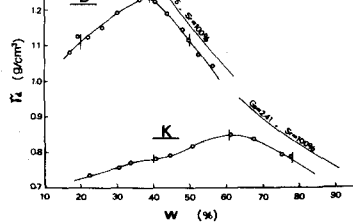


図-2 突固め曲線

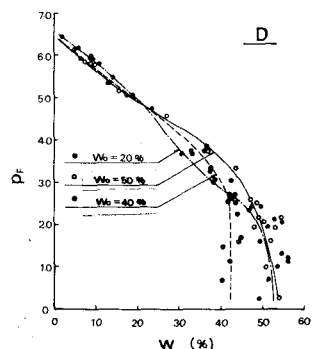


図-3 P_f ・含水比曲線

脱水量が多いことを示している。この理由として、両試料のサクション測定後の供試体の乾燥密度の測定結果に示されるように同一PF値における乾燥密度の増加は $W_0 = 20\%$ 試料に比べて $W_0 = 50\%$ 試料の方が大きいことから $W_0 = 50\%$ 試料では $W_0 = 20\%$ 試料に比べて土が乾燥しにくさに骨格構造が変化して、毛管の形状が変わり易く、脱水しにくい微細な開口部に変化していくものであると考えられる。 $W_0 = 40\%$ 試料については、 $W_0 = 50\%$ 試料のPF・含水比曲線とほぼ同様の傾向を示していることから、骨格構造が $W_0 = 50\%$ のものと類似していると思われる。次に、PF 4.5～7.0 の範囲にある各試料のPF・含水比曲線はどれもほぼ一致している。このPF = 4.5という値は相対湿度約98%にありこの湿度では土中水分が物理吸着水より化学吸着水になり、いくものと推定され構造的にも変化するものと思われるがPF・含水比曲線にはその差はみとめられなかった。

土の種類が異なると同じ火山灰土でもPF・含水比曲線は異なる。黒ばく試料については図-4に示すようにローム試料と同様に3段階に分かれながら、この火山灰土は締固めによつてローム土にせられたような土の骨格構造の変化が起りにくいためあるものと考えられる。

サクションと圧縮強さ；水分を乾燥過程で徐々に変形させたとき、得られる最大の一軸圧縮強さ(q_u)と含水比の関係は図-5に示してある。同図によると一般に強度は乾燥状態にあるとき著しい変化を示している。 $W_0 = 40\%$ 、 50% で締固められた供試体と $W_0 = 20\%$ のときの試料の強度差は、供試体が乾燥することによる乾燥密度の増加は含水比の大きい $W_0 = 40\%$ 、 50% 試料の方が含水比の小さい $W_0 = 20\%$ 試料より大きい。これは骨格構造の相違によるものと思われる。一般に土中水分をエネルギーの一部と構成すると考えると(PF値で表示する)粘性土においてはそれを一軸圧縮強度と密接な対応関係があることが確かめられている。そこで、火山灰土についてPFと q_u の関係を調べたのが図-6である。同図によると各試料ともPF = 0～3.5までの強度は一般に低くてほぼ一定であるが、PF = 3.5からピーク強度を示す約PF = 5.5までは強度の増加割合が著しい。またPF = 5.5以上になると強度が減少する。この強度変化は体積変化と密接な関連があると思われる。いま、試験時の体積変化量と締固め時の体積で徐々に見かけの体積変化量($\Delta V/V$)と試験時の含水比の関係をプロットすると、図-7に示すようになる。この関係曲線は図のA、B点を境に直線は折れ曲る。このA、B点はPFに読み換えるとそれぞれPF = 5.5とPF = 3.5の点に対応していることは興味深い。これらのことから、火山灰土の乾燥過程の土の圧縮強度は、乾燥収縮と大きな関連をもつて、土の圧縮強度は単純に含有水質量だけに関係するのではなくて、骨格構造と水分が作るサクション・エネルギーによって変化することがわかる。

参考文献

- 1) 久保田藤村、エバクション圧と強度の実験的研究、第28回年次学術講演会
- 2) 久保田藤村、エバクション圧と強度に関する実験的考察、中四国支部 第25回学術講演会
- 3) D.Cronley, Pore pressure and Suction in Soil, Butterworths, London, 1960

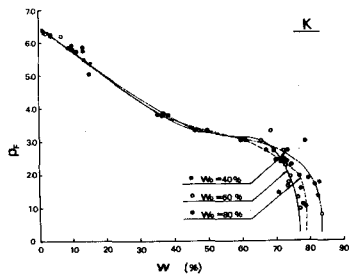


図-4 PF・含水比曲線

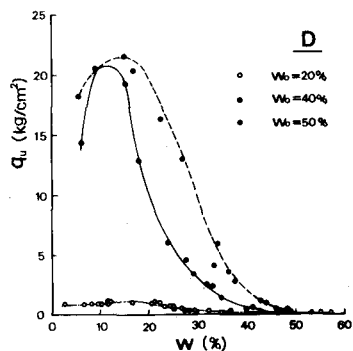


図-5 一軸圧縮強度と含水比

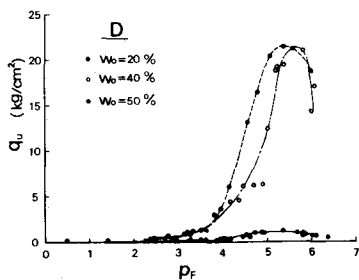


図-6 一軸圧縮強度とPF

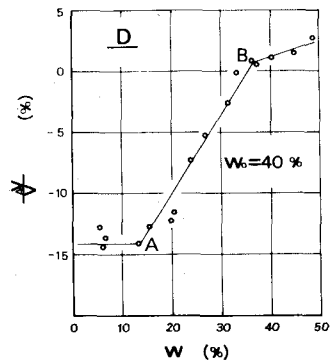


図-7 体積変化と含水比の関係